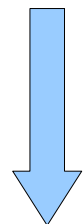


授業スケジュール



第01回(09/30):熱伝導方程式の導出

第02回(10/07):差分法の基礎

10/14 体育の日

第03回(10/21):差分法の解法

10/28 休講

11/11 学生祭

第04回(11/12):熱伝導方程式の解法

第05回(11/18):有限要素法の準備

第06回(11/25):有限要素法の基底関数

第07回(12/02):有限要素法の連立方程式

第08回(12/09):有限要素法と変分法

第09回(12/16):スペクトル法と代用電荷法1

第10回(12/23):スペクトル法と代用電荷法2

01/13 成人の日

第11回(01/20):差分法演習

第12回(01/27):有限要素法演習

第13回(02/03):代用電荷法演習

第14回(02/10):課題演習

第15回(02/13):まとめ.... 木曜日ですが月曜授業です。

工学部本館8階 810室
学科教育用計算機システムで演習
ユーザID/パスワードが必要です。

計算科学特論

スペクトル法と代用電荷法2

代用電荷法によるLaplace方程式の解法

- 試行関数には電荷を模した基本解を用いる:
厳密に調和関数になる

2次元 $u \sim U(z) = \sum_j c_j \log |z - x_j|$

3次元 $u \sim U(z) = \sum_j c_j / |z - x_j|$

- 試験関数(重み)にはデルタ関数を用いる
(選点法を用いることと同等)

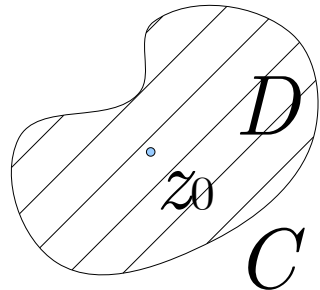
$$\int \dots \int \delta(z - y_k) (u(z) - \sum_j c_j u_j(z)) = u(y_k) - U(y_k) = 0$$

- 残差の計算に積分等は不要になる

代用電荷法の特徴

- Laplace方程式に適合したスペクトル法の一種で、Laplace方程式を厳密に満たす
- 境界条件だけで重みを定めるため数値積分が不要
- 展開に用いる関数をうまく選べば高精度
- 展開に用いる関数の準備=電荷点の撰択が難しい
- 境界条件が滑らかでない問題の近似精度が下がる
- 非線形の問題を扱うことが難しい

代用電荷法

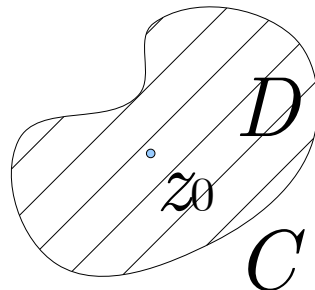


調和関数 $g(z)$ の境界値問題

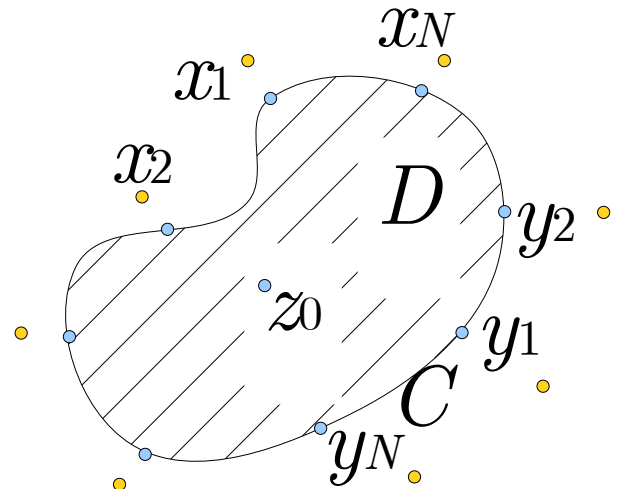
$$z \in C \Rightarrow g(z) = b(z), \quad z \in D \Rightarrow \Delta g(z) = 0$$

代用電荷法

Laplace方程式
の境界値問題



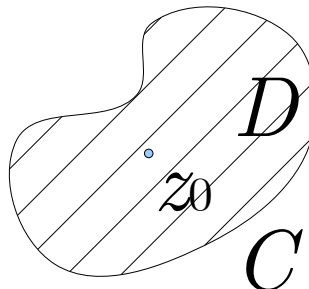
$$z \in D \Rightarrow \Delta g(z) = 0$$
$$z \in C \Rightarrow g(z) = b(z)$$



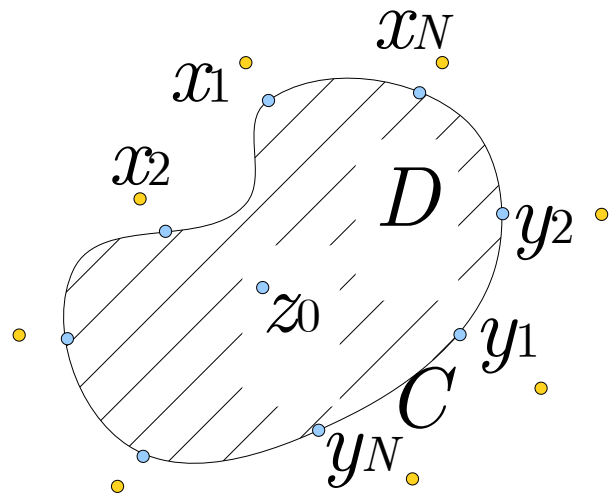
$$x_1, \dots, x_N \notin C \cup D \quad : \text{電荷点}$$
$$g(z) \approx G(z) = G_0 + \sum_{j=1}^N Q_j \log |z - x_j|$$
$$\Rightarrow \Delta G(z) = 0 \text{を満たす}$$

代用電荷法

Laplace方程式
の境界値問題



$$z \in D \Rightarrow \Delta g(z) = 0$$
$$z \in C \Rightarrow g(z) = b(z)$$



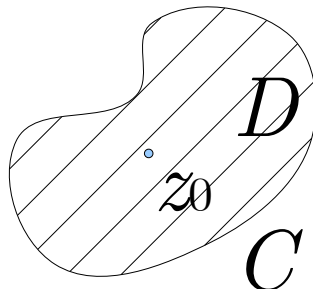
$$x_1, \dots, x_N \notin C \cup D \quad : \text{電荷点}$$
$$g(z) \approx G(z) = G_0 + \sum_{j=1}^N Q_j \log |z - x_j|$$
$$\Rightarrow \Delta G(z) = 0 \text{ を満たす}$$
$$y_1, \dots, y_N \in C \quad : \text{拘束点}$$

選点的境界条件
=拘束条件

$$g(y_k) \approx G(y_k) = b(y_k)$$
$$= G_0 + \sum_{j=1}^N Q_j \log |y_k - x_j|$$

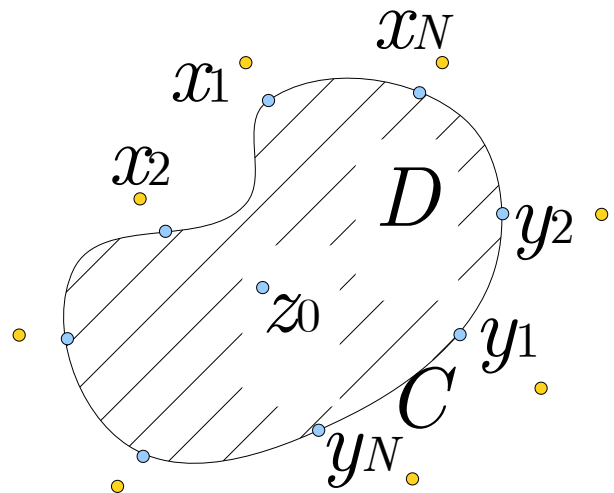
代用電荷法

Laplace方程式
の境界値問題



$$z \in D \Rightarrow \Delta g(z) = 0$$

$$z \in C \Rightarrow g(z) = b(z)$$



$$x_1, \dots, x_N \notin C \cup D \quad : \text{電荷点}$$

$$g(z) \approx G(z) = G_0 + \sum_{j=1}^N Q_j \log |z - x_j|$$

$$\Rightarrow \Delta G(z) = 0 \text{ を満たす}$$

$$y_1, \dots, y_N \in C \quad : \text{拘束点}$$

選点的境界条件
=拘束条件

不变性条件

[6]室田一雄, 代用電荷法におけるスキームの「不变性」について,
情報処理学会論文誌 34, 3, 533-535 (1993).

$$g(y_k) \approx G(y_k) = b(y_k)$$

$$= G_0 + \sum_{j=1}^N Q_j \log |y_k - x_j|$$

$$\sum_{j=1}^N Q_j = 0,$$

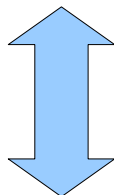
代用電荷法

拘束条件

$$G_0 + \sum_{j=1}^N Q_j \log |y_k - x_j| = b(y_k)$$

不变性条件

$$\sum_{j=1}^N Q_j = 0,$$



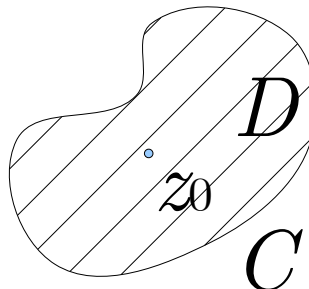
$$\begin{bmatrix} 1 & \log |y_1 - x_1| & \cdots & \log |y_1 - x_N| \\ \vdots & \ddots & \cdots & \vdots \\ 1 & \log |y_N - x_1| & \cdots & \log |y_N - x_N| \\ 0 & 1 & \cdots & 1 \end{bmatrix} \begin{bmatrix} G_0 \\ Q_1 \\ \vdots \\ Q_N \end{bmatrix} = \begin{bmatrix} b(y_1) \\ \vdots \\ b(y_N) \\ 0 \end{bmatrix}$$

連立一次方程式を解き G_0, Q_1, \dots, Q_N を決めればよい

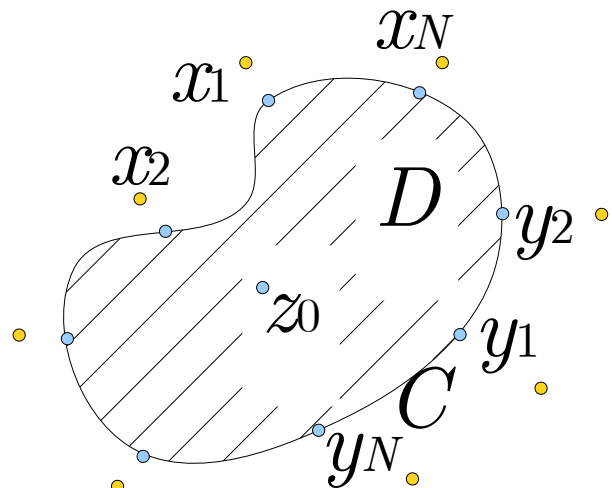
$$g(z) \approx G(z) = G_0 + \sum_{j=1}^N Q_j \log |z - x_j|$$

代用電荷法

Laplace方程式
の境界値問題



$$z \in D \Rightarrow \Delta g(z) = 0$$
$$z \in C \Rightarrow g(z) = b(z)$$



$$g(z) \approx G(z) = G_0 + \sum_{j=1}^N Q_j \log |z - x_j|$$

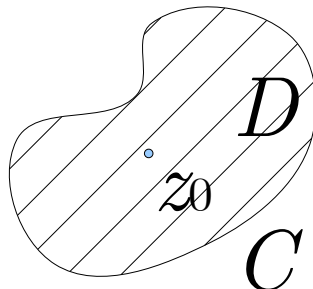
$x_1, \dots, x_N \notin C \cup D$: 電荷点
 $y_1, \dots, y_N \in C$: 拘束点
を置いて、

拘束条件 $G(y_k) = b(y_k)$ と不变性条件 $\sum_{j=1}^N Q_j = 0$,
を満たすように G_0, Q_1, \dots, Q_N を決めればよい。

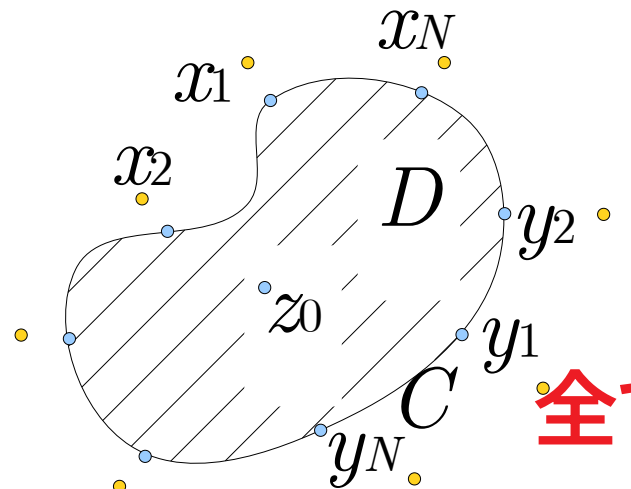
全ては電荷点・拘束点次第

代用電荷法

Laplace方程式
の境界値問題



$$z \in D \Rightarrow \Delta g(z) = 0$$
$$z \in C \Rightarrow g(z) = b(z)$$



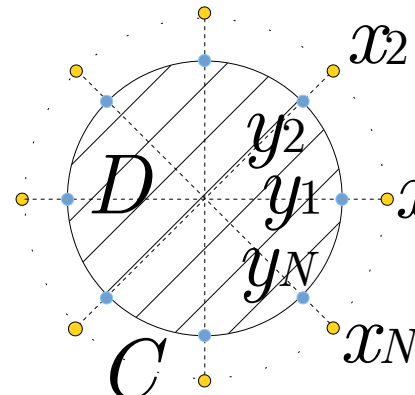
$$x_1, \dots, x_N \notin C \cup D \quad : \text{電荷点}$$
$$y_1, \dots, y_N \in C \quad : \text{拘束点}$$

全ては電荷点・拘束点次第

問題 $(D, b(z))$ に適した電荷点・拘束点をどう選ぶ？

適切な電荷点・拘束点配置

円板領域に等角同相配置したとき



$$C = \{z \mid |z|=r\}, D = \{z \mid |z| < r\}$$

$$x_j = r \exp[i2p(j-1)/N] \quad j=1, \dots, N, \quad r > r,$$

$$y_k = r \exp[i2p(k-1)/N] \quad k=1, \dots, N.$$

問題 $\Delta g(z) = 0$ in D , $g(z) = b(z)$ on C の厳密解 g が
 C を超えて $|z| < r_0$ まで調和拡張できるとき、

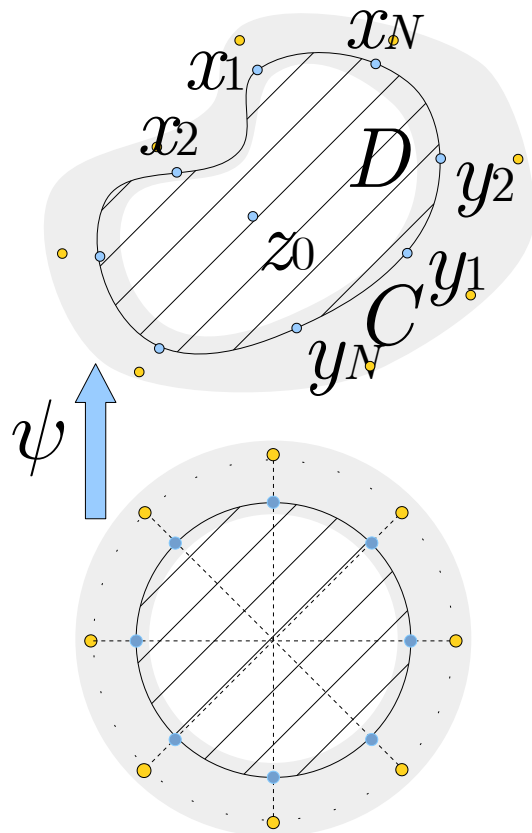
$\exists c > 0, \tau > 1$ s.t. $\|g - G\|_\infty \leq c\tau^{-N}$ 誤差の指數関数的減少
 G は代用電荷法による近似解, $\tau \simeq \min\{\rho/r, \sqrt{r_0/r}\}$

- [7] Katsurada and Okamoto, A mathematical study of charge simulation method I, J. Fac. Sci. u-tokyo, SectIA, Math. **35**, 507-518 (1988)
[8] Katsurada, M., A mathematical study of charge simulation method II, J. Fac. Sci. u-tokyo, SectIA, Math. **36**, 135-162 (1988)

適切な電荷点・拘束点配置

~周辺等角写像 ψ による方法~

周辺領域に等角写像した等角同相配置の点



単位円を C に写し、単位円を含む円環を C を含む帯状の周辺領域に写す等角写像 ψ で等角同相配置の点を写す；

$$x_j = \psi(\rho\omega^{j-1}), \quad y_k = \psi(\omega^{k-1}), \quad \rho > 1, \quad \omega = e^{2\pi i/N}.$$

円板領域の等角同相配置と同様に代用電荷法による近似について、誤差の指數関数的減少が言える

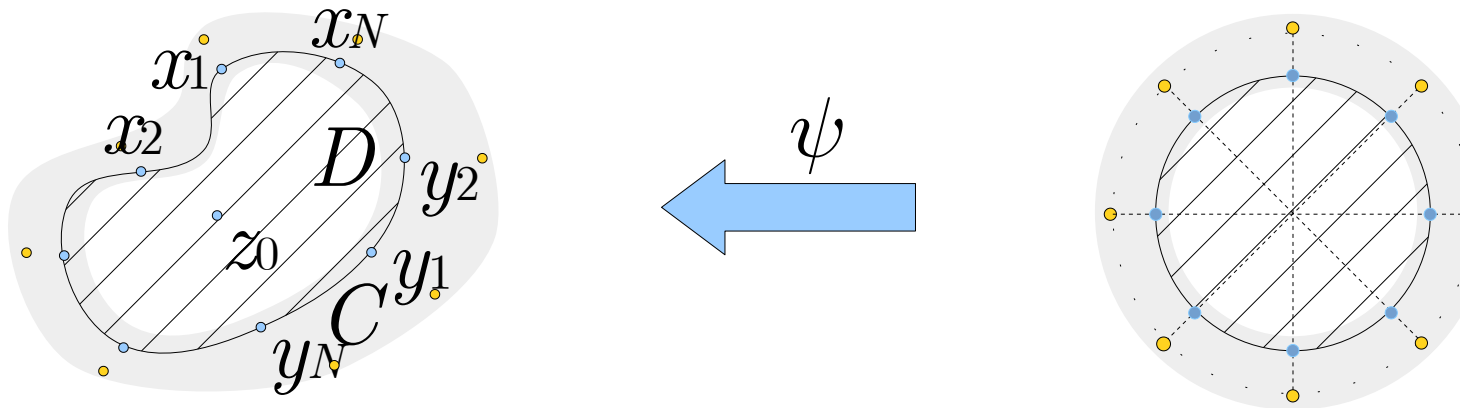
$$\exists c > 0, \quad \tau > 1 \text{ s.t. } \|g - G\|_{\infty} \leq c\tau^{-N}$$

[9]Katsurada and Okamoto, The collocation points of the fundamental solution method for the potential problem, Comp. Math. Applic. 31, 1, 123-137 (1996).

適切な電荷点・拘束点配置

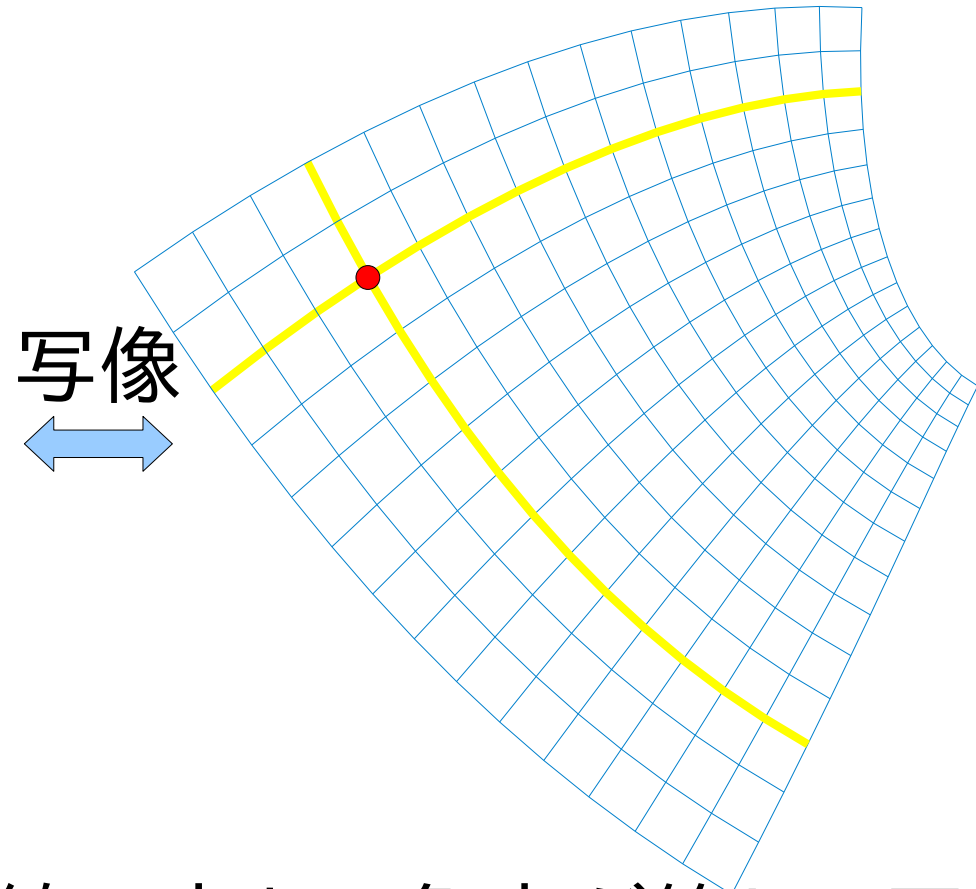
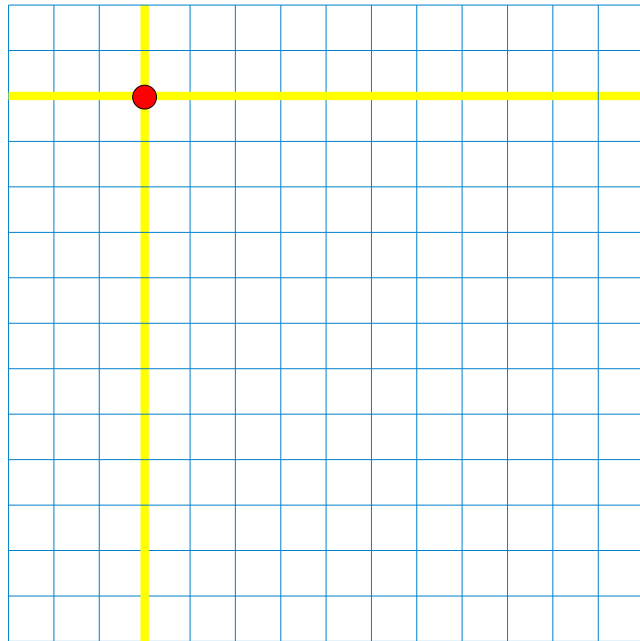
~周辺等角写像 ψ による方法~

周辺領域に等角写像した等角同相配置の点



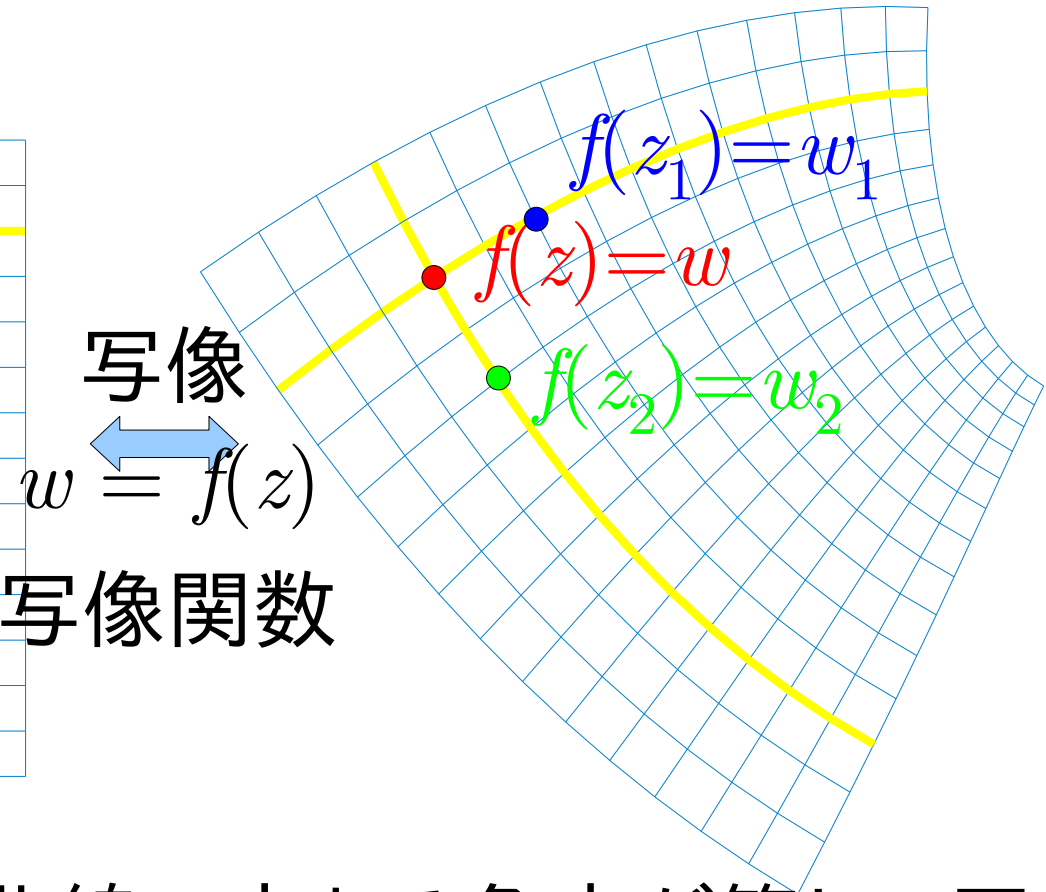
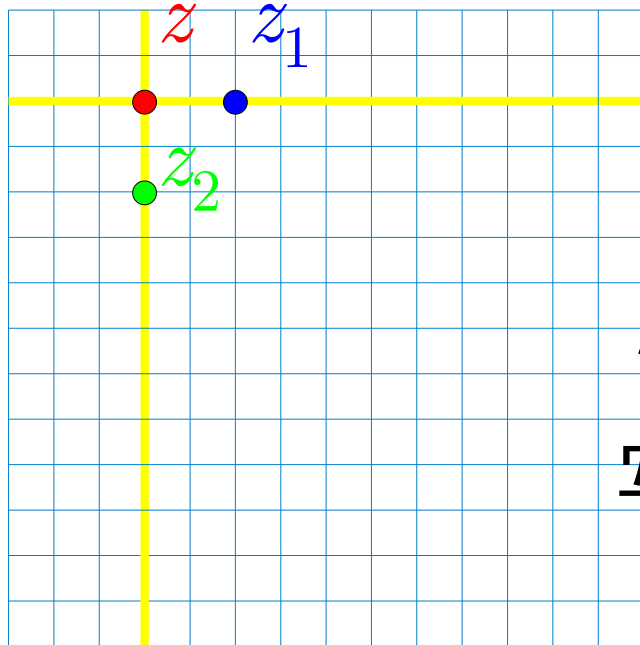
ψ を求める→領域の境界値問題を解く必要がある

2次元平面の等角写像



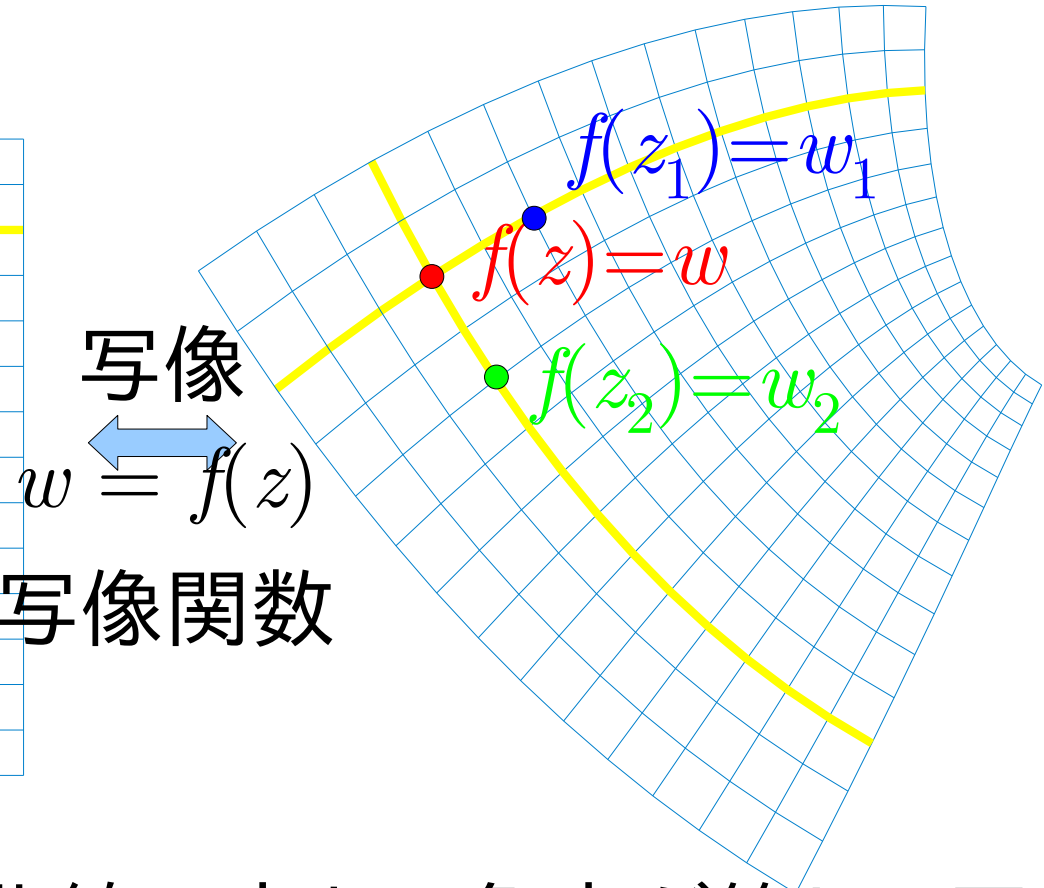
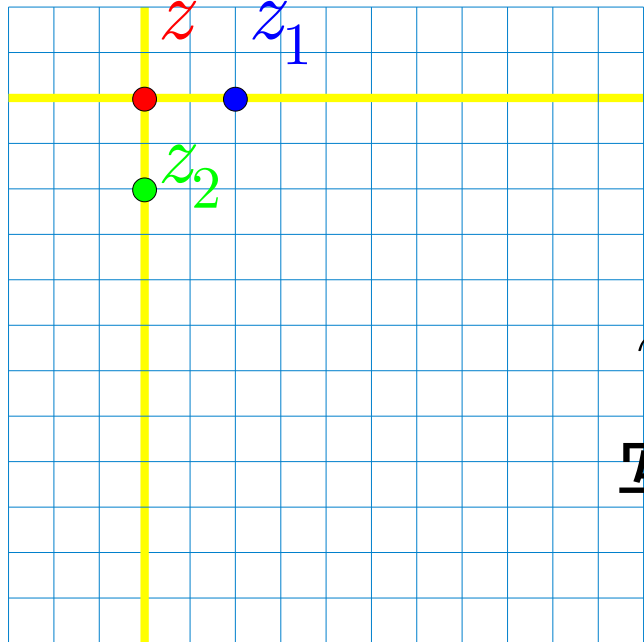
等角写像：2平面の曲線の交わる角度が等しい写像

複素関数の等角写像



等角写像：2平面の曲線の交わる角度が等しい写像

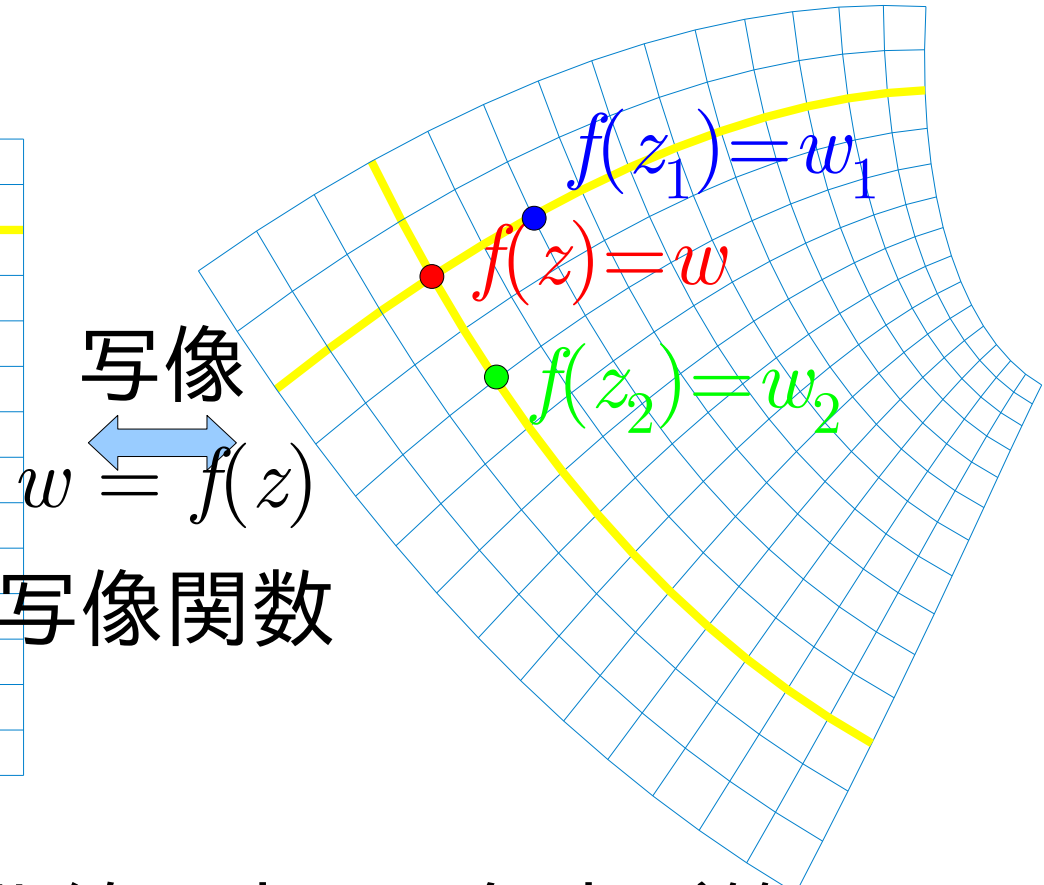
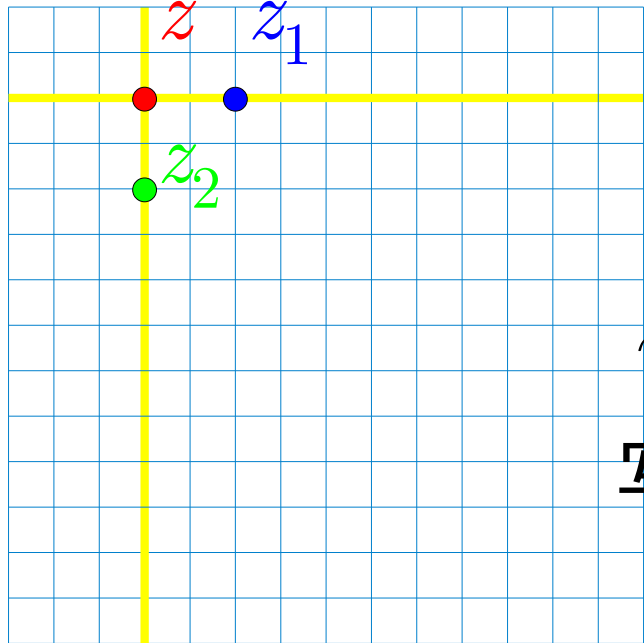
複素関数の等角写像



等角写像：2平面の曲線の交わる角度が等しい写像

$$z \text{に近い } z_1, z_2 \text{ で } \frac{z_1 - z}{z_2 - z} = \frac{w_1 - w}{w_2 - w} \Rightarrow \lim_{\substack{z_1 \rightarrow z \\ z_2 \rightarrow z}} \frac{f(z_1) - f(z)}{z_1 - z} = \lim_{\substack{z_2 \rightarrow z \\ z_1 \rightarrow z}} \frac{f(z_2) - f(z)}{z_2 - z}$$

複素関数の等角写像

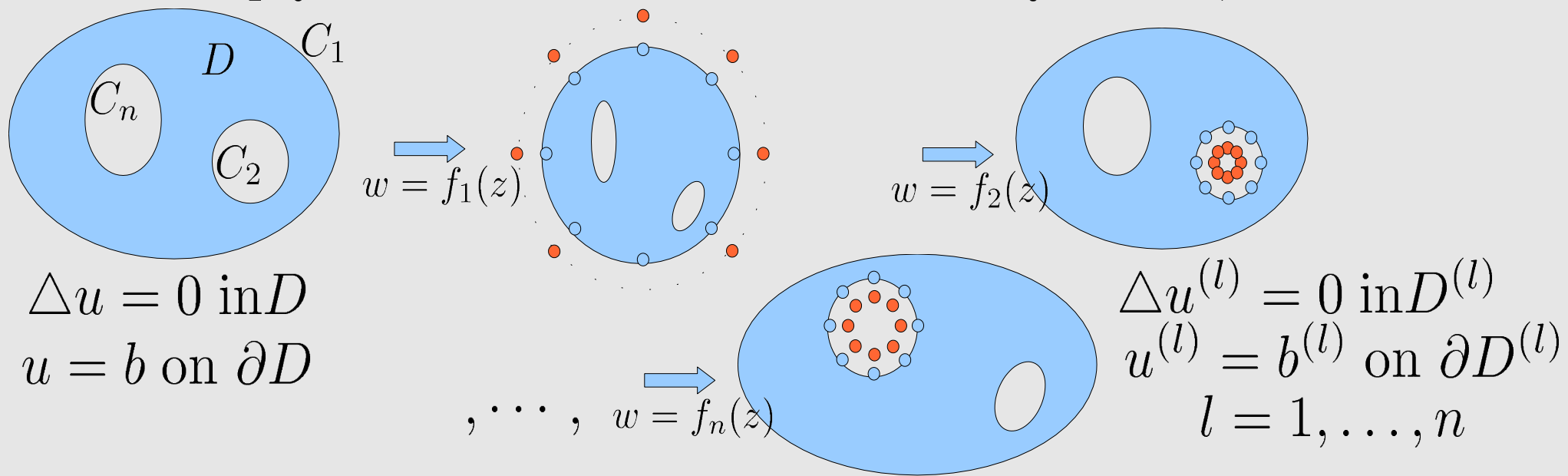


等角写像：2平面の曲線の交わる角度が等しい写像

$f(z)$ が解析関数 (微分できる関数) $\Leftrightarrow w = f(z)$ は等角写像

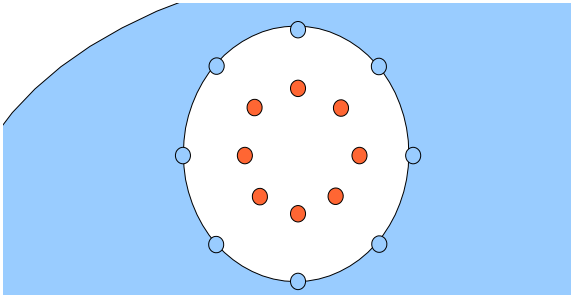
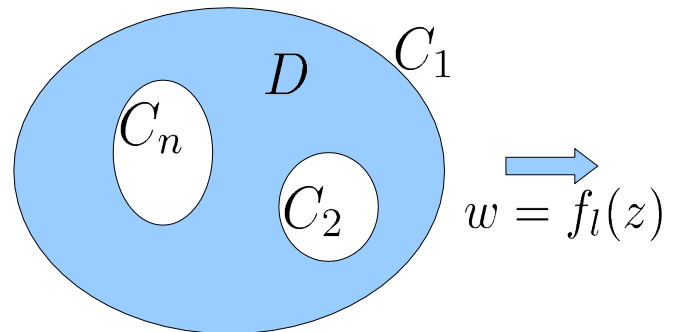
Charge and Collocation Points for Multiply-Connected Domain

D : multiply connected domain bounded by $C_1 \dots, C_n$



$$u(z) \sim U_N(z) = \sum_l \sum_j Q_j^l \log |f_l(z) - x_j^{(l)}|.$$

Exponential Error Decay



charge/coll. pts. are
equally placed on the
concentric circles

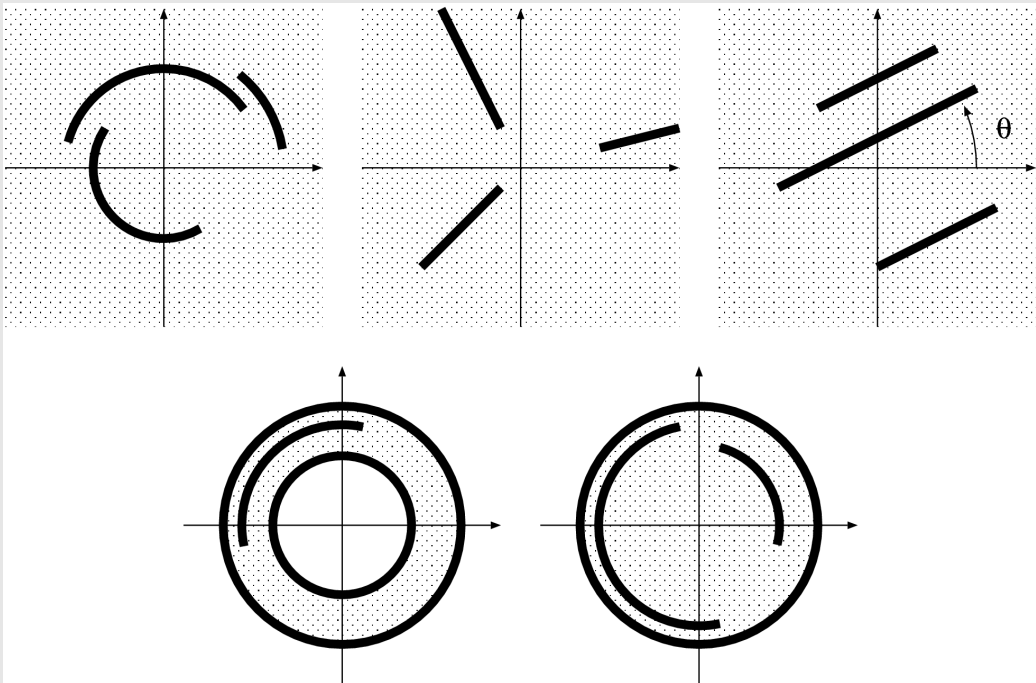
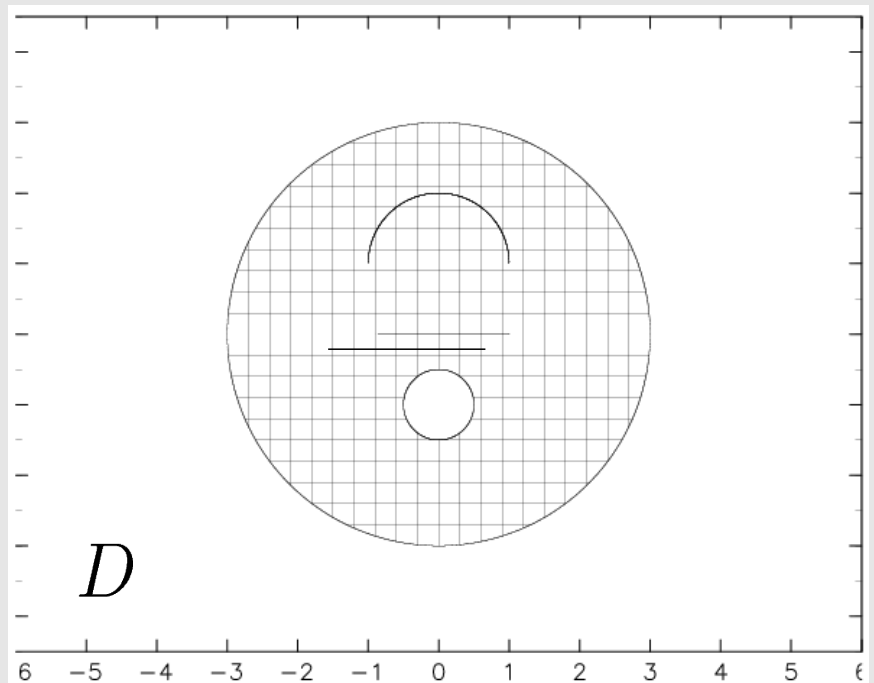
$$\begin{aligned} \Delta u = 0 &\text{ in } D & \Delta u^{(l)} = 0 &\text{ in } D^{(l)} \\ u = b &\text{ on } \partial D & u^{(l)} = b^{(l)} &\text{ on } C^{(l)} \quad l = 1, \dots, n \end{aligned}$$

$$u(z) \sim U_N(z) = \sum_l \sum_j Q_j^l \log |f_l(z) - x_j^{(l)}|.$$

if harmonic func. $u^{(l)}$ is extensible beyond $C^{(l)}$

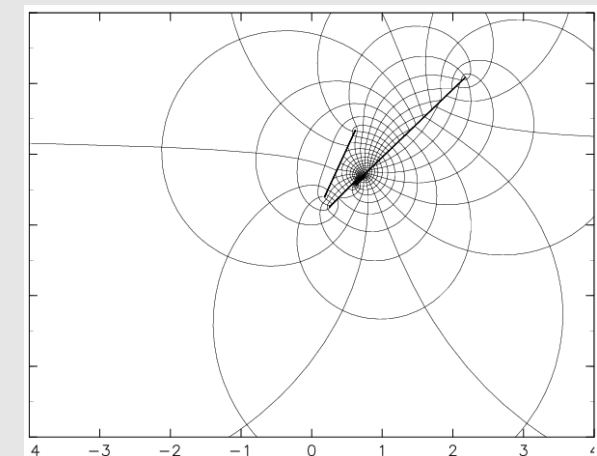
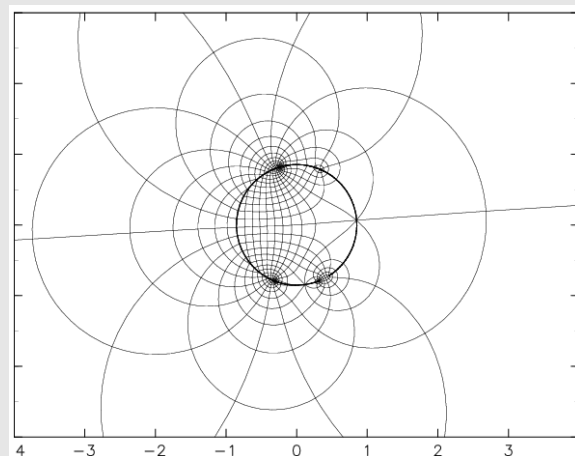
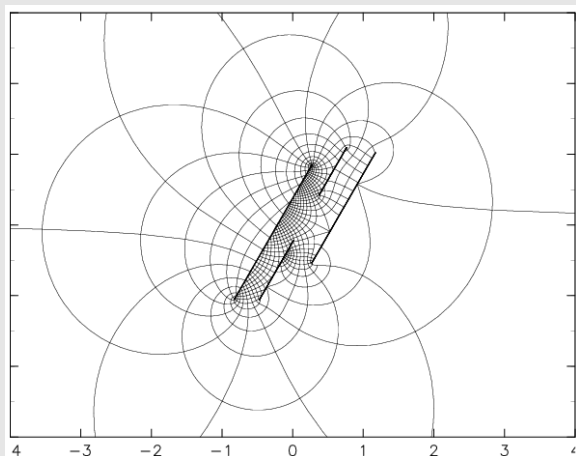
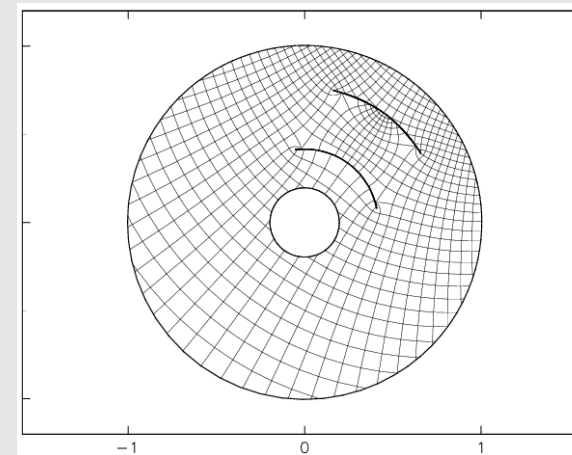
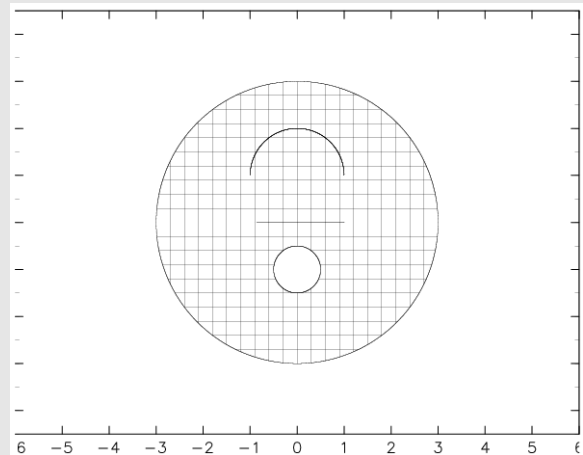
$$\Rightarrow \exists A^{(l)} > 0, \tau^{(l)} > 1, \quad \max_{C_l} |u - U_N| \leq A^{(l)} \tau^{(l)-N}.$$

Numerical Example

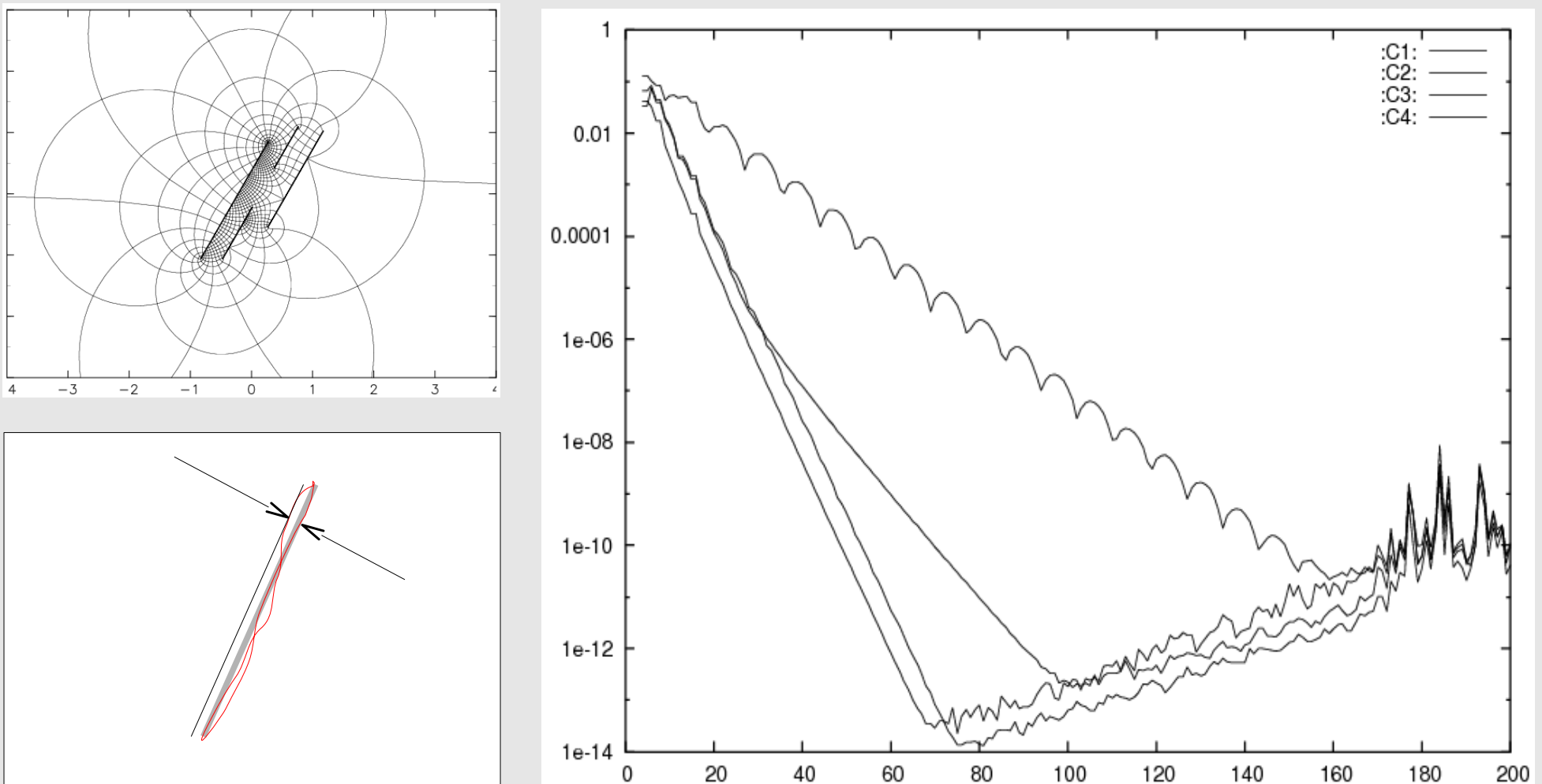
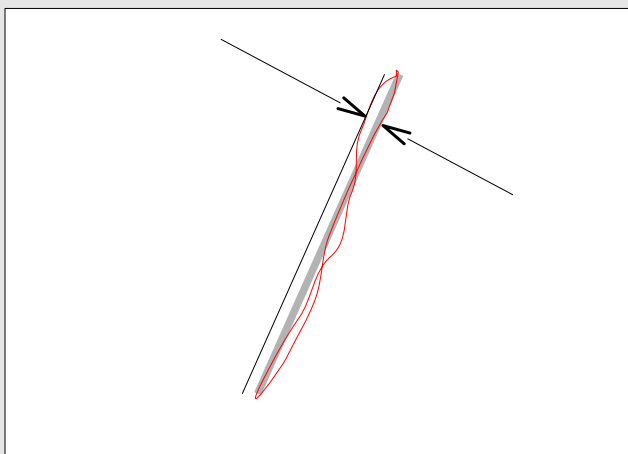
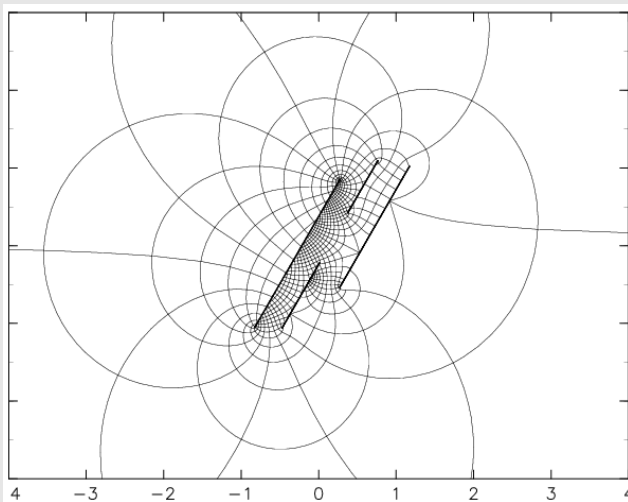


Conformal maps from problem domain D with two slits onto Nehari's 5types of canonical slit domains

Numerical Example



Numerical Example



errors estimated by deviation from slits

Applying to the 3D potential problems (sphere)

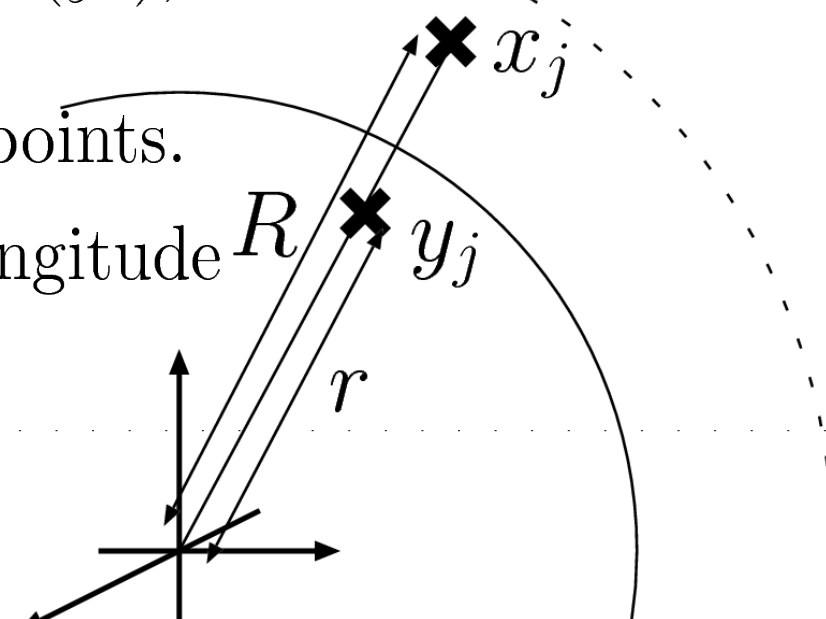
Ogata, Okano, Sugihara, and Amano (2003)

$$\Delta u = 0 \quad \text{in } D \subset \mathbb{R}^3, \quad u = b \quad \text{on } \partial D, \quad D = \{z \mid |z| < r\}.$$

$$U_N(z) = \sum_j Q_j / |z - x_j|, \quad U_N(y_k) = b(y_k),$$

x_j : charge points, y_k : collocation points.

x_j and y_j has same latitude and longitude
on concentric spheres for $j = 1, \dots$



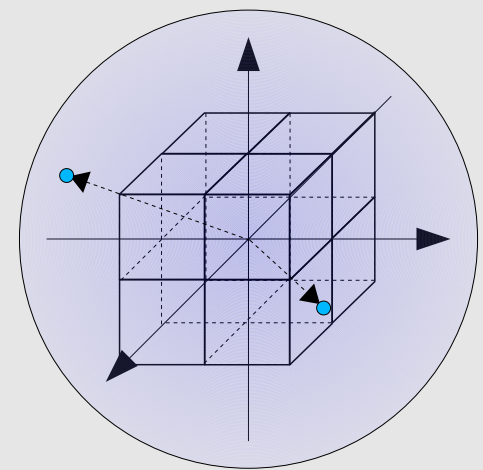
\Rightarrow coeff. matrix is non-singular,
approximation is available.

Uniform Points Arrangement and Exponential Error Decay

We examine the efficiency of "equally" placed charge and collocation points via some numerical experiments.

Candidates:

1. Generalized spiral points ($C = 3.6$)
2. Minimal energy points of Sloan and Womersley
3. Vertices of regular polyhedra
4. Points lifted onto sphere from the surface lattice points of cube



Generalized spiral points

”generalized spiral points”

$$(\theta_1, \phi_1), \dots, (\theta_N, \phi_N)$$

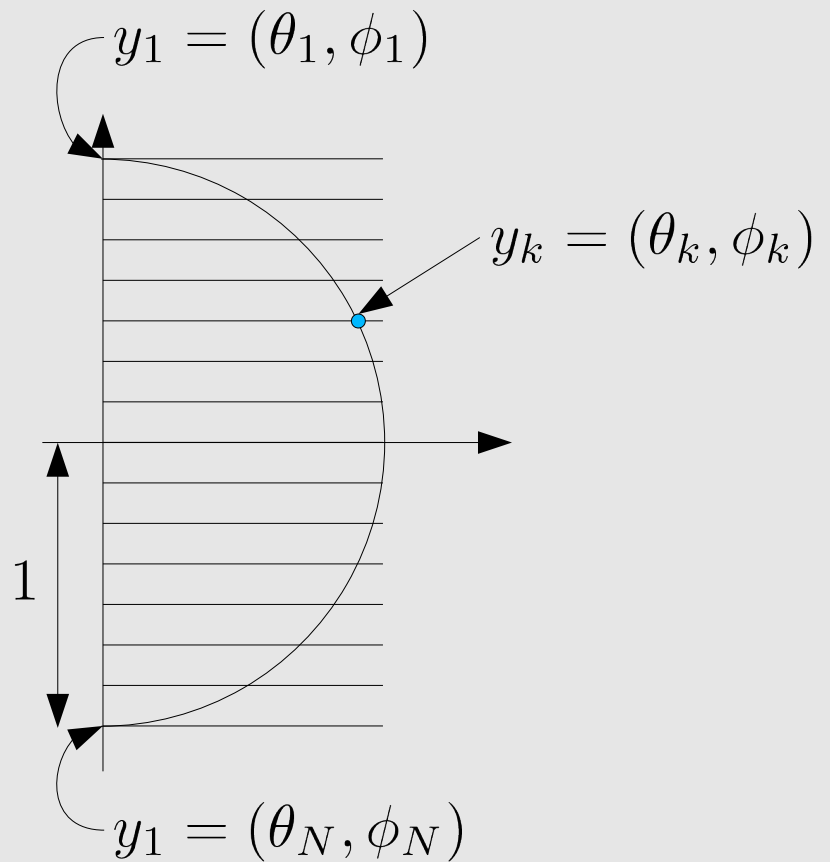
$$h_k = 1 - 2 \frac{k-1}{N-1} \quad k = 1, \dots, N$$

$$\theta_k = \arccos(h_k)$$

$$\phi_1 = \phi_N = 0$$

$$\phi_k = \phi_{k-1} + \frac{C}{\sqrt{N_0}} \frac{1}{\sqrt{1 - h_k^2}}$$

$$k = 2, \dots, N-1.$$



E. A. Rakhmanov, E. B. Saff and Y. M. Zhou: “Minimal discrete energy on the sphere,”
Mathematical Research Letters 1 (1994), 647–662

Generalized spiral points

“generalized spiral points”

$$(\theta_1, \phi_1), \dots, (\theta_N, \phi_N)$$

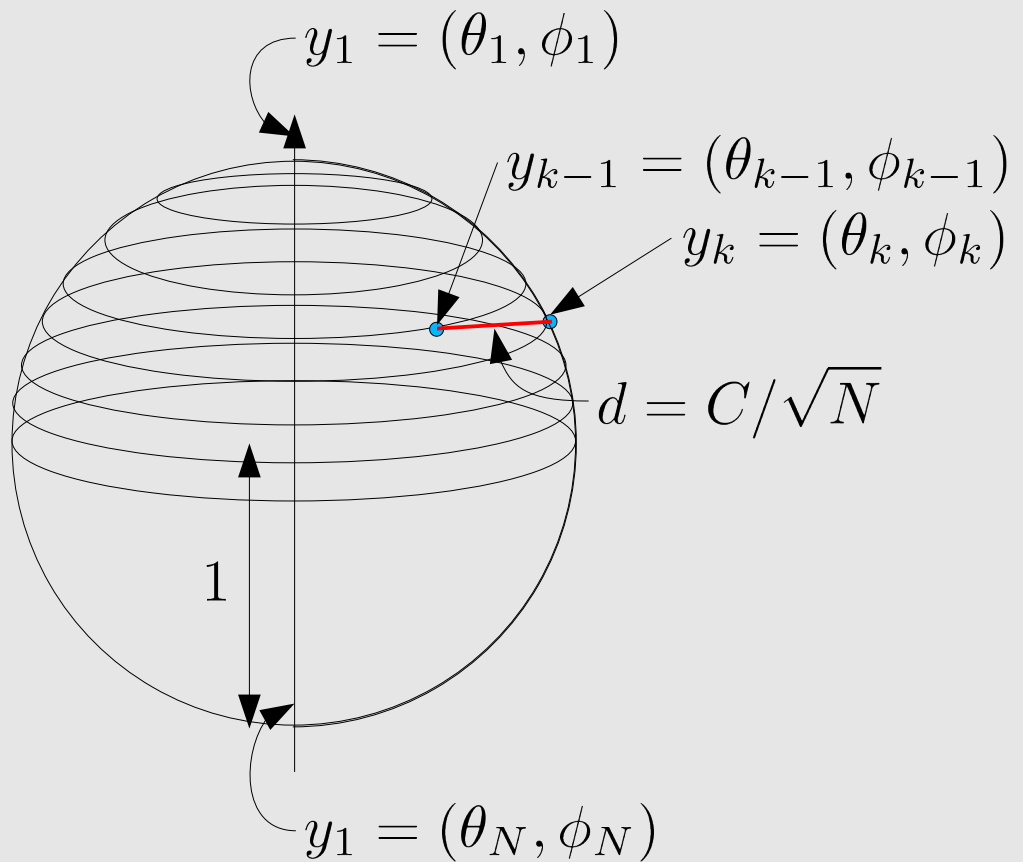
$$h_k = 1 - 2 \frac{k-1}{N-1} \quad k = 1, \dots, N$$

$$\theta_k = \arccos(h_k)$$

$$\phi_1 = \phi_N = 0$$

$$\phi_k = \phi_{k-1} + \frac{C}{\sqrt{N_0}} \frac{1}{\sqrt{1-h_k^2}}$$

$$k = 2, \dots, N-1.$$



E. A. Rakhmanov, E. B. Saff and Y. M. Zhou: “Minimal discrete energy on the sphere,”
Mathematical Research Letters 1 (1994), 647–662

Generalized spiral points

"generalized spiral points"

$$(\theta_1, \phi_1), \dots, (\theta_N, \phi_N)$$

$$h_k = 1 - 2 \frac{k-1}{N-1} \quad k = 1, \dots, N$$

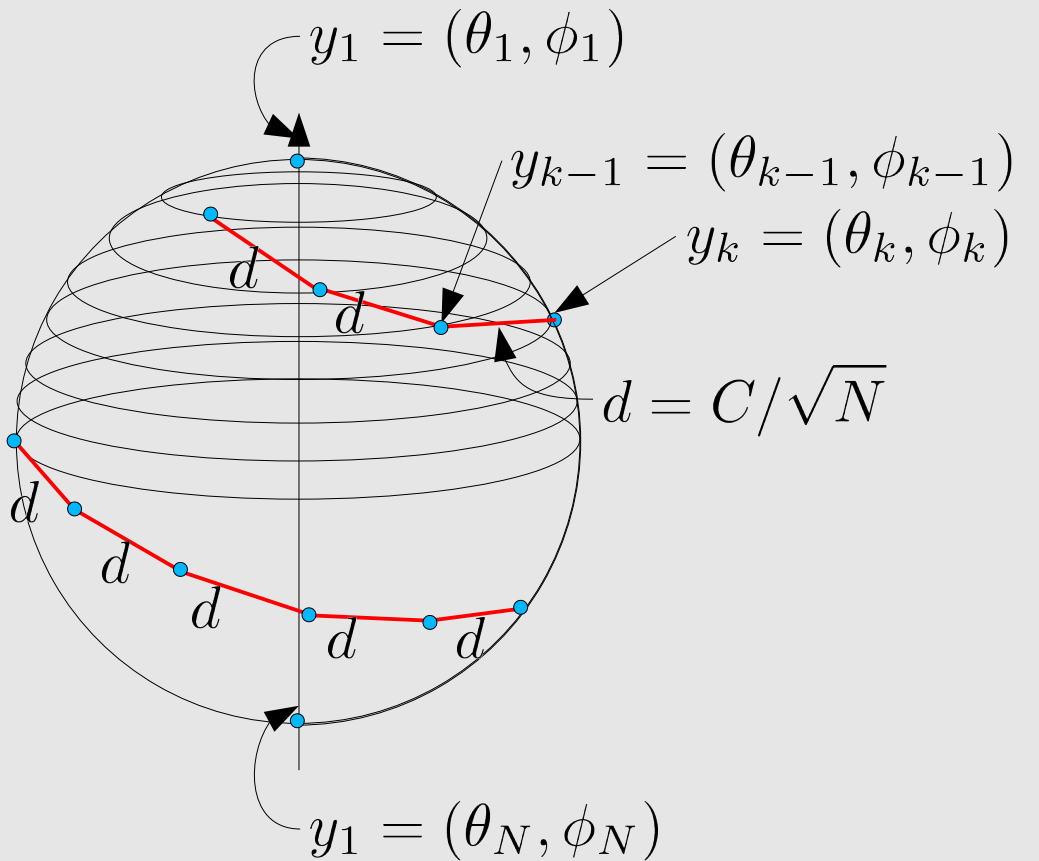
$$\theta_k = \arccos(h_k)$$

$$\phi_1 = \phi_N = 0$$

$$\phi_k = \phi_{k-1} + \frac{C}{\sqrt{N_0}} \frac{1}{\sqrt{1-h_k^2}}$$

$$k = 2, \dots, N-1.$$

$$d = \frac{C}{\sqrt{N}} < \frac{4}{\sqrt{N}} \quad \text{g.s.pts.:} \quad y_1, \dots, y_N \text{ with } = 3.6 \quad \epsilon(y_1, \dots, y_N) \sim E(N)$$



Generalized spiral points

"generalized spiral points"

$$(\theta_1, \phi_1), \dots, (\theta_N, \phi_N)$$

$$h_k = 1 - 2 \frac{k-1}{N-1} \quad k = 1, \dots, N$$

$$\theta_k = \arccos(h_k)$$

$$\phi_1 = \phi_N = 0$$

$$\phi_k = \phi_{k-1} + \frac{C}{\sqrt{N_0}} \frac{1}{\sqrt{1-h_k^2}}$$

$$k = 2, \dots, N-1.$$

$$d = \frac{C}{\sqrt{N}} < \frac{4}{\sqrt{N}} \quad \text{g.s.pts.:} \quad y_1, \dots, y_N \quad \text{with}$$

$$C = 3.6 \quad \epsilon(y_1, \dots, y_N) \sim E(N)$$

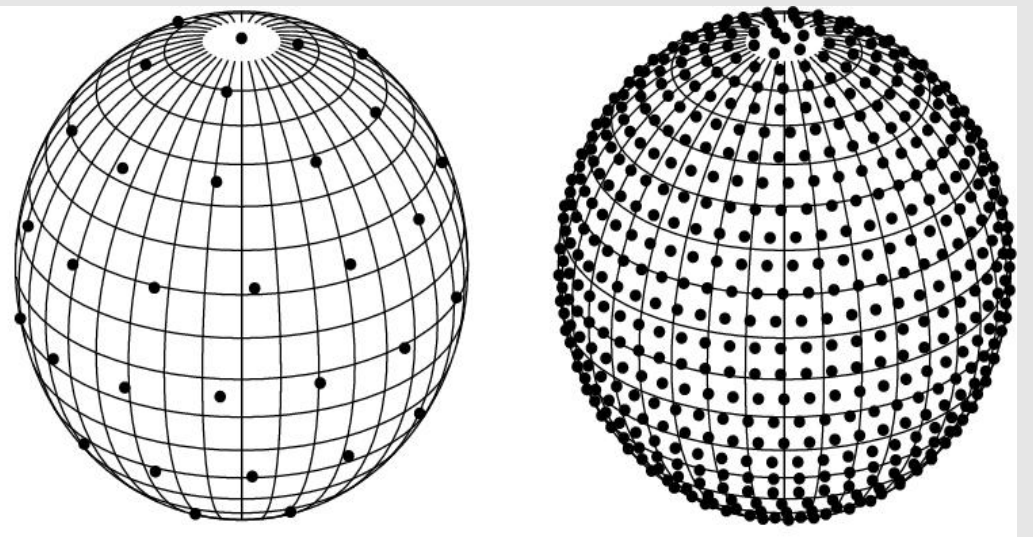
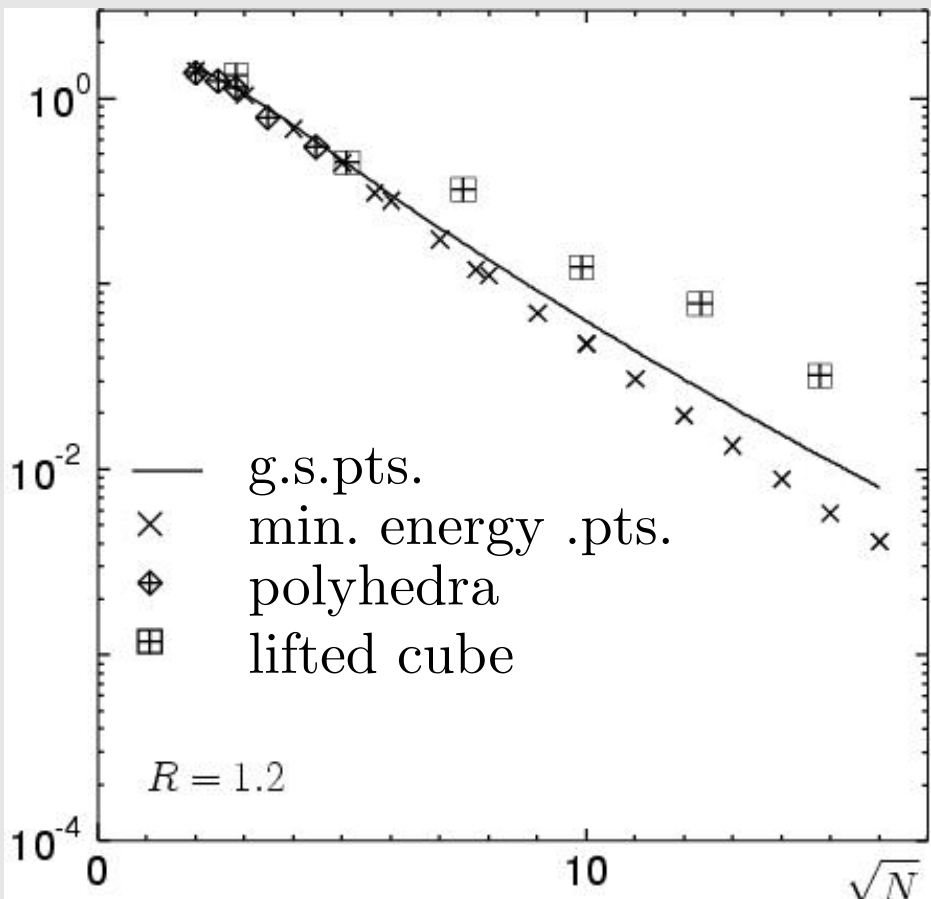
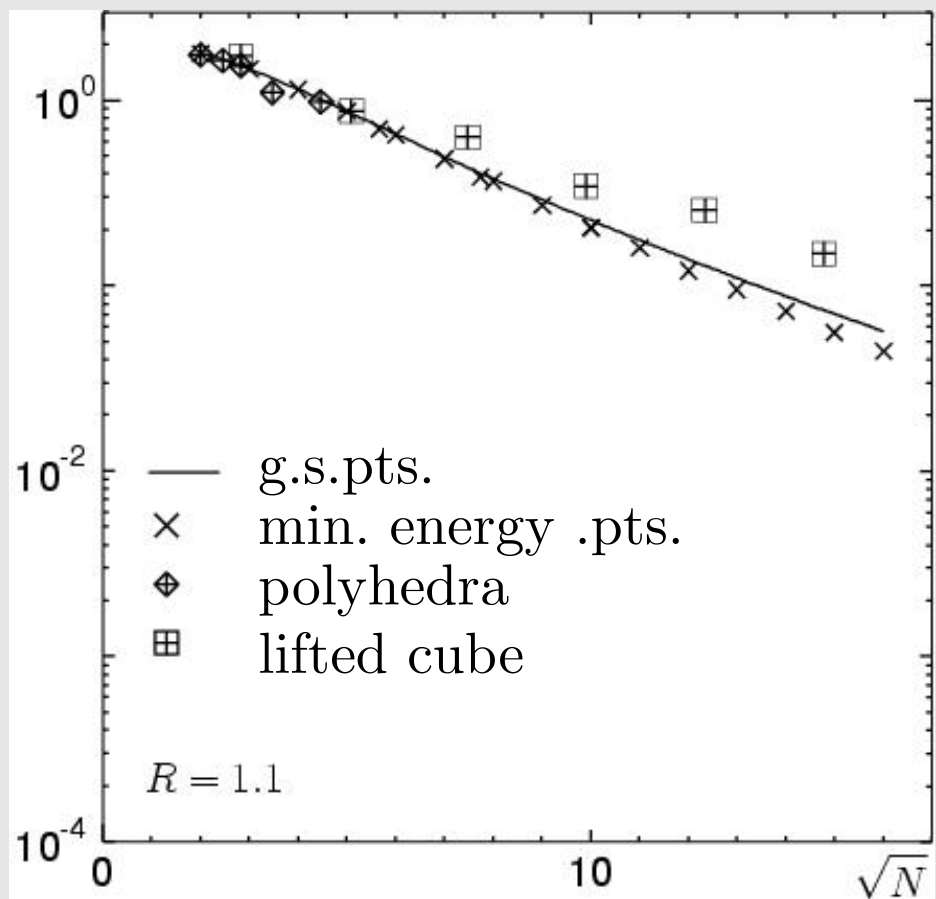


Fig.1: Generalized Spiral Points on Sphere
N=64(left), N=1000(right)

Numerical Examples

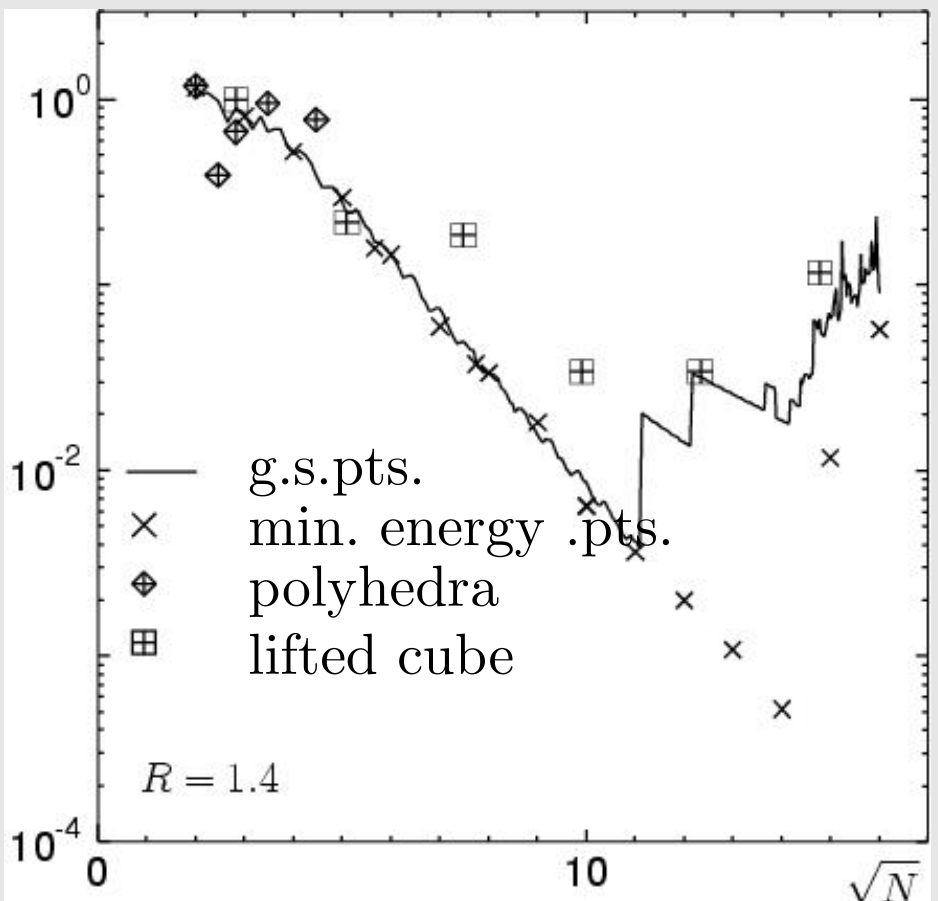
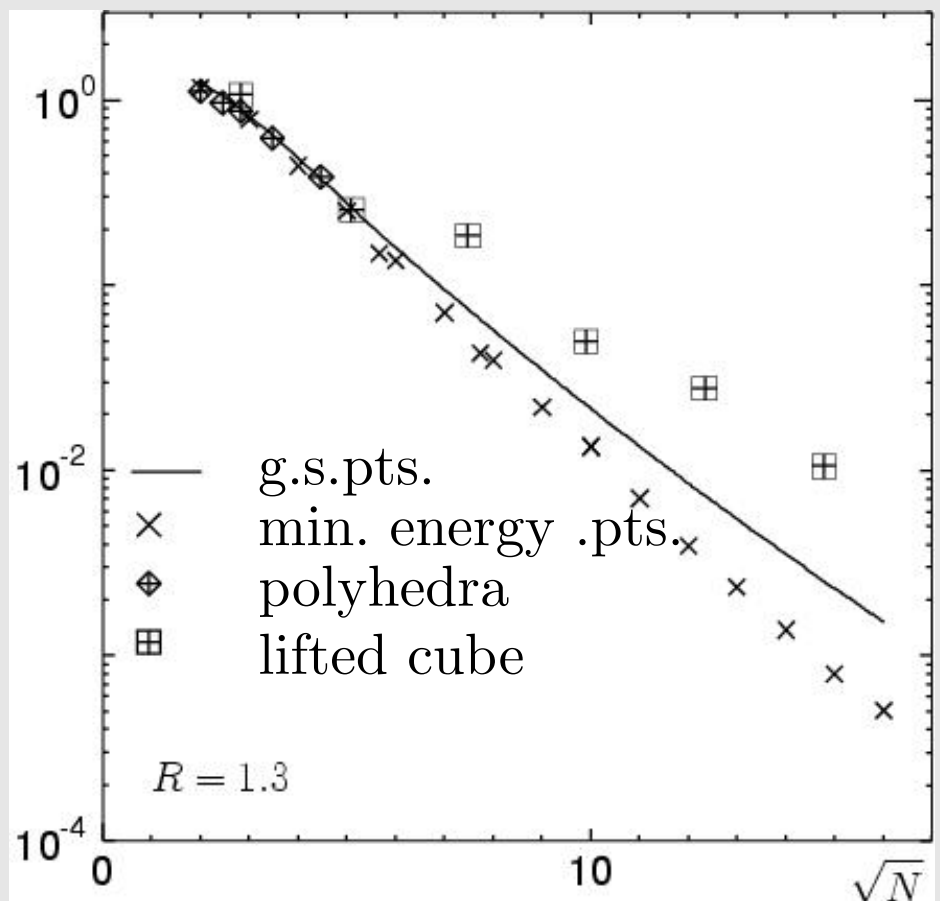
exponential decay of error



$$u(r, \theta) = r \cos \theta$$

Numerical Examples

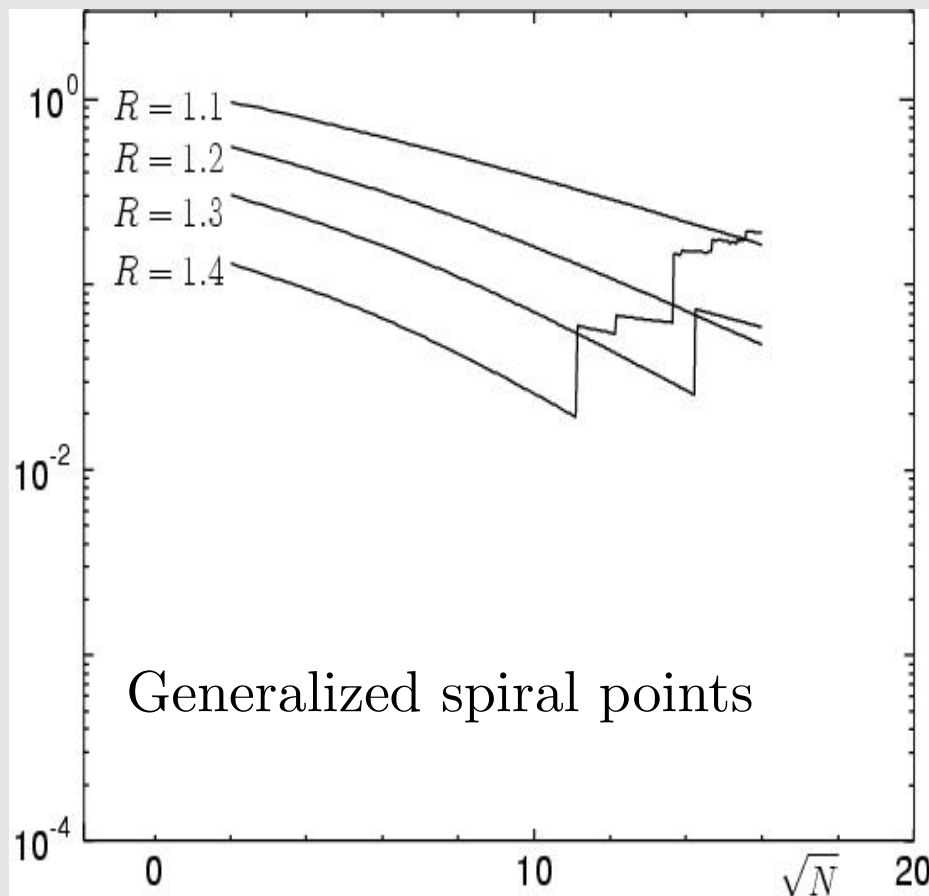
exponential decay of error



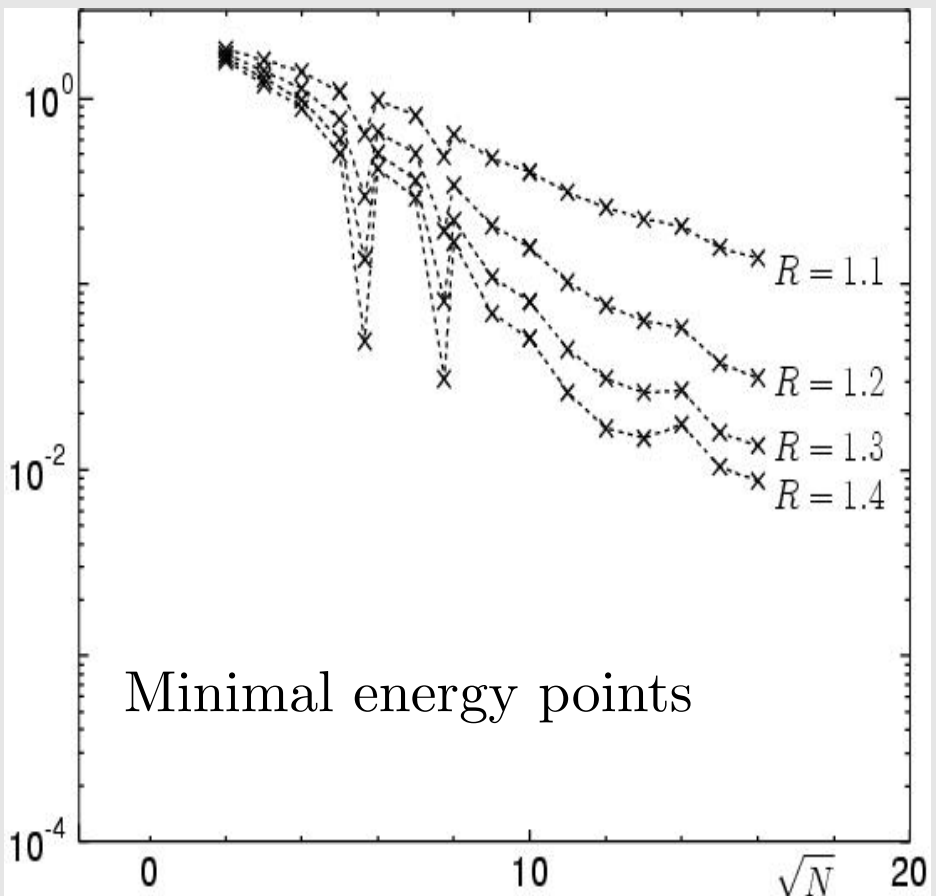
$$u(r, \theta) = r \cos \theta$$

Numerical Examples

exponential decay of error



Generalized spiral points



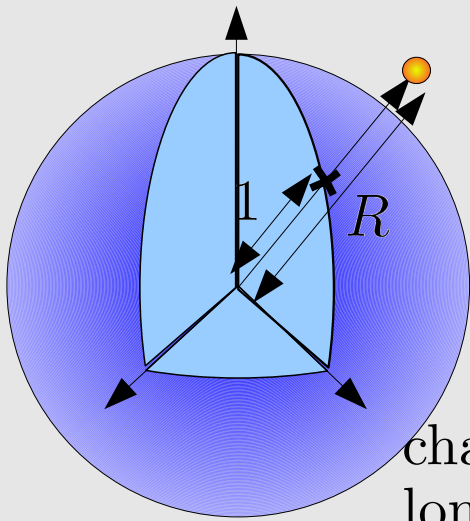
Minimal energy points

$$u(z) = |z - z_0|^{-1}, z_0 = (r = 1.5, \theta = 0)$$

Exponential error decay on sphere

exponential decay of error for potential problems on sphere

$$\sup_{|z|<1} |u(z) - U_N(z)| \leq c\tau^{-\sqrt{N}}, \quad 0 < c, 1 < \tau = \tau(R, u, \dots)$$



by equally placed collocation points,
minimal energy points,
generalized spiral points,

and

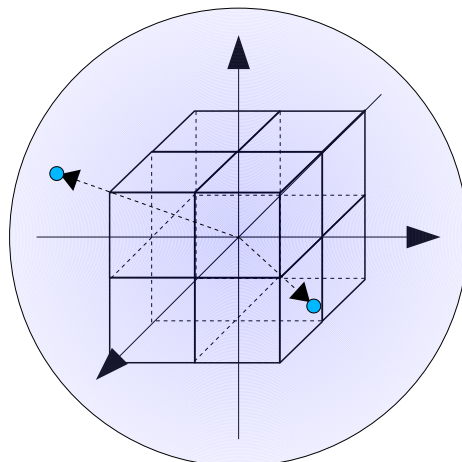
charge and collocation points of same latitude and
longitude on concentric spheres

$$x_j = Ry_j, \quad j = 1, \dots, N, R > 1$$

レポート(10)

学籍番号・氏名を記し提出してください。

- 立方体側面の等分点を元に球面上の「一様」な拘束点を用意すると、その点数はどのような増え方をしますか？



ヒント:

頂点8個 = 6面 × 4 × (1/3)

面の中央点 = 6面 × 1と
辺の等分点 = 6面 × 4 × (1/2)
を加えると 26個

その次は？

※ 増やし方は色々考えられます。

授業レポート用紙: 氏名()

) 学籍番号()

2019年12月23日(月)

できれば授業の感想も書いてください。